

Starkniederschlagshöhen und -spenden gemäß KOSTRA-DWD-2020

Rasterfeld 211129

(Zeile 211, Spalte 129)

Regenspende und Bemessungsniederschlagswerte in Abhängigkeit von Wiederkehrzeit T und Dauerstufe D

| Dauerstufe D | | Wiederkehrzeit T | | | | | | | | | | | | | | | | | |
|--------------|-----|------------------|------------|------|------------|------|------------|-------|------------|-------|------------|-------|------------|-------|------------|-------|------------|-------|------------|
| | | 1 a | | 2 a | | 3 a | | 5 a | | 10 a | | 20 a | | 30 a | | 50 a | | 100 a | |
| min | Std | mm | l / (s ha) | mm | l / (s ha) | mm | l / (s ha) | mm | l / (s ha) | mm | l / (s ha) | mm | l / (s ha) | mm | l / (s ha) | mm | l / (s ha) | mm | l / (s ha) |
| 5 | | 7,5 | 250,0 | 9,1 | 303,3 | 10,1 | 336,7 | 11,4 | 380,0 | 13,4 | 446,7 | 15,3 | 510,0 | 16,6 | 553,3 | 18,3 | 610,0 | 20,8 | 693,3 |
| 10 | | 9,9 | 165,0 | 12,1 | 201,7 | 13,4 | 223,3 | 15,2 | 253,3 | 17,7 | 295,0 | 20,4 | 340,0 | 22,1 | 368,3 | 24,3 | 405,0 | 27,6 | 460,0 |
| 15 | | 11,5 | 127,8 | 14,0 | 155,6 | 15,5 | 172,2 | 17,6 | 195,6 | 20,5 | 227,8 | 23,6 | 262,2 | 25,5 | 283,3 | 28,2 | 313,3 | 31,9 | 354,4 |
| 20 | | 12,6 | 105,0 | 15,4 | 128,3 | 17,1 | 142,5 | 19,3 | 160,8 | 22,6 | 188,3 | 25,9 | 215,8 | 28,1 | 234,2 | 31,0 | 258,3 | 35,1 | 292,5 |
| 30 | | 14,3 | 79,4 | 17,5 | 97,2 | 19,4 | 107,8 | 22,0 | 122,2 | 25,7 | 142,8 | 29,5 | 163,9 | 32,0 | 177,8 | 35,2 | 195,6 | 39,9 | 221,7 |
| 45 | | 16,2 | 60,0 | 19,8 | 73,3 | 22,0 | 81,5 | 24,9 | 92,2 | 29,0 | 107,4 | 33,3 | 123,3 | 36,2 | 134,1 | 39,8 | 147,4 | 45,1 | 167,0 |
| 60 | 1 | 17,6 | 48,9 | 21,5 | 59,7 | 23,9 | 66,4 | 27,1 | 75,3 | 31,6 | 87,8 | 36,3 | 100,8 | 39,3 | 109,2 | 43,3 | 120,3 | 49,1 | 136,4 |
| 90 | 1,5 | 19,8 | 36,7 | 24,2 | 44,8 | 26,9 | 49,8 | 30,4 | 56,3 | 35,5 | 65,7 | 40,7 | 75,4 | 44,2 | 81,9 | 48,7 | 90,2 | 55,1 | 102,0 |
| 120 | 2 | 21,5 | 29,9 | 26,2 | 36,4 | 29,1 | 40,4 | 33,0 | 45,8 | 38,5 | 53,5 | 44,2 | 61,4 | 47,9 | 66,5 | 52,8 | 73,3 | 59,8 | 83,1 |
| 180 | 3 | 24,1 | 22,3 | 29,3 | 27,1 | 32,6 | 30,2 | 36,9 | 34,2 | 43,1 | 39,9 | 49,5 | 45,8 | 53,7 | 49,7 | 59,1 | 54,7 | 67,0 | 62,0 |
| 240 | 4 | 26,1 | 18,1 | 31,8 | 22,1 | 35,3 | 24,5 | 40,0 | 27,8 | 46,7 | 32,4 | 53,6 | 37,2 | 58,1 | 40,3 | 64,0 | 44,4 | 72,5 | 50,3 |
| 360 | 6 | 29,1 | 13,5 | 35,5 | 16,4 | 39,5 | 18,3 | 44,7 | 20,7 | 52,2 | 24,2 | 59,9 | 27,7 | 64,9 | 30,0 | 71,6 | 33,1 | 81,0 | 37,5 |
| 540 | 9 | 32,5 | 10,0 | 39,7 | 12,3 | 44,1 | 13,6 | 49,9 | 15,4 | 58,3 | 18,0 | 66,9 | 20,6 | 72,5 | 22,4 | 79,9 | 24,7 | 90,5 | 27,9 |
| 720 | 12 | 35,2 | 8,1 | 42,9 | 9,9 | 47,7 | 11,0 | 54,0 | 12,5 | 63,0 | 14,6 | 72,4 | 16,8 | 78,5 | 18,2 | 86,5 | 20,0 | 97,9 | 22,7 |
| 1080 | 18 | 39,3 | 6,1 | 47,9 | 7,4 | 53,3 | 8,2 | 60,3 | 9,3 | 70,4 | 10,9 | 80,8 | 12,5 | 87,6 | 13,5 | 96,5 | 14,9 | 109,3 | 16,9 |
| 1440 | 24 | 42,5 | 4,9 | 51,8 | 6,0 | 57,6 | 6,7 | 65,2 | 7,5 | 76,1 | 8,8 | 87,3 | 10,1 | 94,7 | 11,0 | 104,4 | 12,1 | 118,2 | 13,7 |
| 2880 | 48 | 51,3 | 3,0 | 62,5 | 3,6 | 69,5 | 4,0 | 78,6 | 4,5 | 91,8 | 5,3 | 105,4 | 6,1 | 114,3 | 6,6 | 126,0 | 7,3 | 142,7 | 8,3 |
| 4320 | 72 | 57,2 | 2,2 | 69,8 | 2,7 | 77,6 | 3,0 | 87,8 | 3,4 | 102,5 | 4,0 | 117,7 | 4,5 | 127,6 | 4,9 | 140,6 | 5,4 | 159,2 | 6,1 |
| 5760 | 96 | 61,9 | 1,8 | 75,4 | 2,2 | 83,8 | 2,4 | 94,9 | 2,7 | 110,8 | 3,2 | 127,2 | 3,7 | 137,9 | 4,0 | 152,0 | 4,4 | 172,2 | 5,0 |
| 7200 | 120 | 65,7 | 1,5 | 80,1 | 1,9 | 89,1 | 2,1 | 100,8 | 2,3 | 117,7 | 2,7 | 135,1 | 3,1 | 146,5 | 3,4 | 161,5 | 3,7 | 182,9 | 4,2 |
| 8640 | 144 | 69,1 | 1,3 | 84,2 | 1,6 | 93,6 | 1,8 | 105,9 | 2,0 | 123,6 | 2,4 | 141,9 | 2,7 | 153,9 | 3,0 | 169,6 | 3,3 | 192,1 | 3,7 |
| 10080 | 168 | 72,0 | 1,2 | 87,8 | 1,5 | 97,6 | 1,6 | 110,4 | 1,8 | 128,9 | 2,1 | 148,0 | 2,4 | 160,5 | 2,7 | 176,9 | 2,9 | 200,3 | 3,3 |

Starkniederschlagshöhen und -spenden gemäß KOSTRA-DWD-2020

Rasterfeld 211129

(Zeile 211, Spalte 129)

Örtliche Unsicherheiten in Abhängigkeit von Wiederkehrzeit T und Dauerstufe D

| Dauerstufe D | | Wiederkehrzeit T | | | | | | | | |
|--------------|-----|------------------|-----|-----|-----|------|------|------|------|-------|
| | | 1 a | 2 a | 3 a | 5 a | 10 a | 20 a | 30 a | 50 a | 100 a |
| min | Std | ± % | ± % | ± % | ± % | ± % | ± % | ± % | ± % | ± % |
| 5 | | 19 | 20 | 20 | 21 | 22 | 22 | 22 | 23 | 23 |
| 10 | | 22 | 23 | 24 | 25 | 25 | 26 | 26 | 27 | 27 |
| 15 | | 24 | 25 | 26 | 26 | 27 | 28 | 28 | 29 | 29 |
| 20 | | 25 | 26 | 27 | 27 | 28 | 29 | 29 | 30 | 30 |
| 30 | | 25 | 26 | 27 | 28 | 29 | 29 | 30 | 30 | 31 |
| 45 | | 25 | 26 | 27 | 28 | 29 | 29 | 30 | 30 | 30 |
| 60 | 1 | 24 | 26 | 26 | 27 | 28 | 29 | 29 | 29 | 30 |
| 90 | 1,5 | 23 | 24 | 25 | 26 | 27 | 28 | 28 | 28 | 29 |
| 120 | 2 | 22 | 23 | 24 | 25 | 26 | 26 | 27 | 27 | 28 |
| 180 | 3 | 21 | 22 | 23 | 23 | 24 | 25 | 25 | 26 | 26 |
| 240 | 4 | 20 | 21 | 22 | 22 | 23 | 24 | 24 | 24 | 25 |
| 360 | 6 | 19 | 20 | 20 | 21 | 22 | 22 | 23 | 23 | 23 |
| 540 | 9 | 18 | 19 | 19 | 20 | 20 | 21 | 21 | 22 | 22 |
| 720 | 12 | 18 | 18 | 19 | 19 | 20 | 20 | 21 | 21 | 21 |
| 1080 | 18 | 18 | 18 | 19 | 19 | 19 | 20 | 20 | 20 | 21 |
| 1440 | 24 | 19 | 19 | 19 | 19 | 19 | 20 | 20 | 20 | 20 |
| 2880 | 48 | 21 | 21 | 21 | 21 | 21 | 21 | 21 | 21 | 21 |
| 4320 | 72 | 23 | 23 | 22 | 22 | 22 | 22 | 22 | 22 | 22 |
| 5760 | 96 | 25 | 24 | 24 | 24 | 24 | 23 | 23 | 23 | 23 |
| 7200 | 120 | 27 | 26 | 25 | 25 | 25 | 25 | 25 | 25 | 24 |
| 8640 | 144 | 28 | 27 | 27 | 26 | 26 | 26 | 26 | 25 | 25 |
| 10080 | 168 | 29 | 28 | 28 | 27 | 27 | 27 | 27 | 26 | 26 |

Parameter für abweichende T und D

Lokationsparameter ξ (Xi)

18,01048748

Skalenparameter α (Alpha)

5,49022392

Formparameter κ (Kappa)

-0,1

1. Koutsoyiannis-Parameter θ (Theta)

0,02759751

2. Koutsoyiannis-Parameter η (Eta)

0,72942829

Parameter für dauerstufenübergreifende Extremwertschätzung nach KOUTSOYIANNIS et al. 1998.

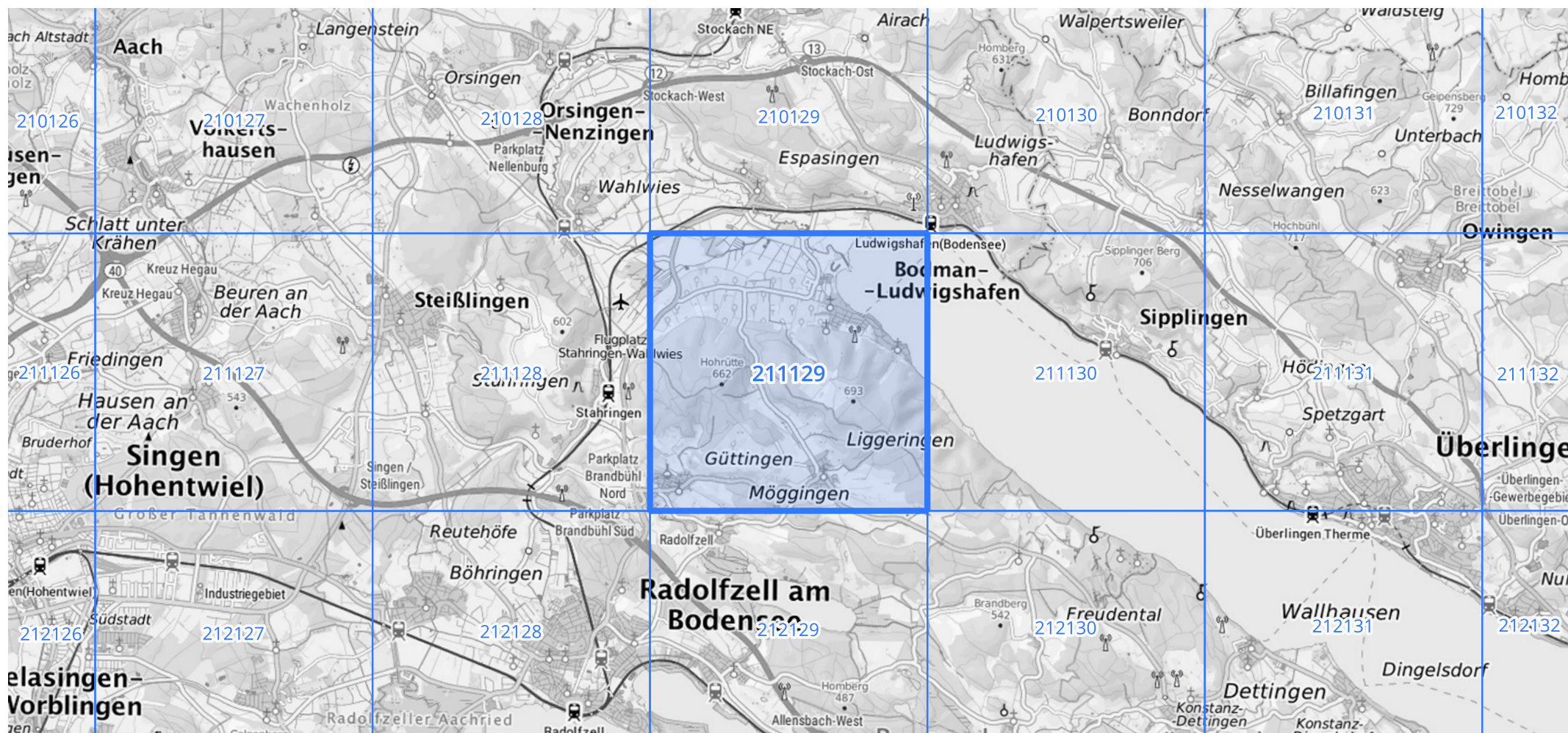
Siehe auch Anwendungshilfe zu KOSTRA-DWD-2020 des Deutschen Wetterdienstes.

Starkniederschlagshöhen und -spenden gemäß KOSTRA-DWD-2020

Rasterfeld 211129

(Zeile 211, Spalte 129)

Übersichtskarte des Rasterfeldes 211129, M 1 : 100 000



Quelle Rasterdaten: KOSTRA-DWD-2020 des Deutschen Wetterdienstes, Stand 12/2022.

Seite 3 von 3

Kartendarstellung: © Bundesamt für Kartographie und Geodäsie (2023), Datenquellen: https://sgx.geodatenzentrum.de/web_public/gdz/datenquellen/Datenquellen_TopPlusOpen.html

Für die Richtigkeit und Aktualität der Angaben wird keine Gewähr übernommen. Erstellt 01/2023.